

مکانیزم تشکیل ترکیب بین فلزی $TiCr_2$ به روش احیای همزمان اکسیدهای تیتانیم و کروم

امید بیات^{*}، علیرضا خاوندی^۱ و رضا قاسم زاده^۲

۱- استادیار، دانشکده مهندسی مواد و متالورژی، دانشگاه صنعتی همدان، همدان، ایران

۲- دانشیار، دانشکده مهندسی مواد و متالورژی، دانشگاه علم و صنعت ایران، تهران، ایران

۳- استاد، دانشکده مهندسی مواد و متالورژی، دانشگاه علم و صنعت ایران، تهران، ایران

^{*}obayat@iust.ac.ir

(تاریخ دریافت: ۱۴۰۱/۱۰/۲۰، تاریخ پذیرش: ۱۴۰۲/۰۲/۱۰)

چکیده

در این تحقیق مکانیزم تشکیل ترکیب بین فلزی $TiCr_2$ از طریق احیای کلسیوترمیک اکسیدهای TiO_2 و Cr_2O_3 بررسی شد. بر اساس نتایج به دست آمده فلز Ca پس از ذوب شدن ابتدا در دمای $933^{\circ}C$ با Cr_2O_3 واکنش داده و Cr و CaO تشکیل می‌گردد و با افزایش دما، ترکیب $CaTiO_3$ از واکنش بین CaO و TiO_2 تشکیل می‌شود. از طرفی فلز Ca در دمای $1063^{\circ}C$ با باقیمانده TiO_2 و $CaTiO_3$ واکنش داده و Ti تشکیل می‌گردد. در نهایت ترکیب بین فلزی $TiCr_2$ از طریق نفوذ دوجانبه‌ی Ti و Cr تشکیل می‌گردد که مکانیزم حاکم بر این فرایند مکانیزم احیاء-دیفوژیون است. همچنین ترکیب به دست آمده حاوی ۱۶۹۰ ppm اکسیژن باقیمانده بوده و پس از فعال سازی قابلیت جذب هیدروژن را دارد.

کلمات کلیدی:

ترکیب بین فلزی $TiCr_2$ ، احیای همزمان، مواد جاذب هیدروژن.

۱- مقدمه

خانواده‌ی $TiCrMn$, $TiCrV$ و ... به دلیل ظرفیت جذب بالای هیدروژن مورد توجه بالایی قرار گرفته‌اند اما به دلیل هزینه‌ی بالای تولید، کمتر مورد استفاده قرار می‌گیرند [۱۱-۱۶]. Okada et al. (آکادا و همکارانش) نشان دادند که آلیاژ-Ti-Cr خانواده‌ی $TiCrMn$, $TiCrV$ و ... به دلیل ظرفیت جذب بالای هیدروژن مورد توجه بالایی قرار گرفته‌اند اما به دلیل هزینه‌ی بالای تولید، کمتر مورد استفاده قرار می‌گیرند [۱۱-۱۶]. در روش مرسوم تولید این آلیاژها، ابتدا فلزات خالص Ti و Cr به روش قوس الکتریکی و تحت خلاء (VAR) ذوب و جهت حذف جدایش‌های ماکروسکوپی، این فرایند چندین مرحله تکرار

امروزه توسعه‌ی تکنولوژی‌های کارآمد با حداقل انرژی مورد نیاز، از اهمیت ویژه‌ای برخوردار است. روش احیای همزمان اکسیدهای مواد اولیه و آلیاژسازی همزمان محصولات، از جمله روش‌های نوین و ساده‌ای است که جهت ساخت ترکیبات بین فلزی، بسیاری از کامپوزیت‌ها و نیز سرامیک‌ها استفاده می‌شود [۷-۱۱]. در میان مواد مختلف، کاربرد و تقاضا برای تیتانیم و آلیاژهای آن به دلیل خواص منحصر به فرد خود نظریه استحکام بالا، دانسیته‌ی کم، زیست سازگاری، قابلیت جذب هیدروژن و مقاومت به خوردگی رو به افزایش است [۸-۱۰]. آلیاژهای

سپس آزمایش های آنالیز حرارتی (دستگاه مدل NETZSCH STA409) بر روی مواد واکنشگر، با نرخ حرارتی 20 k/min تحت اتمسفر گاز آرگون و تا دمای 1200°C انجام و در این دما به مدت زمان های 30 ، 60 و 120 دقیقه نگهداری شد. جهت تکرار پذیری، آزمایش های آنالیز حرارتی ۴ بار تکرار شده و برخی از آزمایش ها جهت مشخص شدن واکنش های میانی در دمایی کمتر از 1200°C متوقف شدند. محصولات به دست آمده از واکنش های مختلف با روش تفرق اشعه ایکس (دستگاه Seifert 3003TT، Cu-K α radiation بررسی های میکروسکوپ الکترونی رویی (Vega \odot Tescan EDS) و آنالیز نیز بر روی آنها صورت پذیرفت.

پس از شستشو و جداسازی محصولات جانبی در محلول اسید کلریدریک گرم، خواص هیدروژنی و اکسیژن باقیمانده در ترکیب بین فلزی TiCr_2 به ترتیب با روش های سیورت و inert gas fusion –infrared absorption LECO TC-600 شدند.

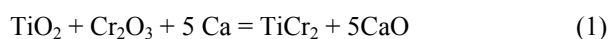
۳- نتایج و بحث

در شکل ۱ پتانسیل اکسیژن بر حسب دما برای سیستم های $\text{Ti}-\text{O}$ ، $\text{Cr}-\text{O}$ و $\text{Ca}-\text{O}$ آمده است [۲۶-۲۷]. بر اساس محاسبات ترمودینامیکی و با توجه به شکل ۱، ملاحظه می شود که در میان ترکیبات اکسیدی تیتانیم و کروم، ترکیب TiO دارای کمترین پتانسیل اکسیژن و در نتیجه مشکل ترین آنها جهت احیاء به فلز Ti است. اما همان گونه که ملاحظه می شود، فلز Ca از نقطه نظر ترمودینامیکی، به دلیل پایین بودن پتانسیل اکسیژن، قابلیت احیای کلیه ترکیبات اکسیدی تیتانیم و کروم را به فلزات آنها دارد. از طرفی بررسی ها حاکی از آن است که حلایت Ca در Ti و در محدوده دمایی $1600-1155\text{ K}$ کمتر از 200 ppm بوده [۲۸] و لذا فلز Ca گزینه مناسبی جهت احیای همزمان اکسیدهای تیتانیم و کروم محسوب می گردد.

(معمولتا ۷ مرحله) شده و در نهایت جهت هموزن شدن آلیاز، فرایند آنیل و خردایش بر روی آنها صورت می گیرد. از طرفی فلز Ti با روش کرول و فلز Cr از روش الکترولیز و یا احیای اکسید کروم، توسط Al یا Si به دست می آیند [۱۸-۱۹]. بنابراین فرایند طولانی فوق جهت تولید این آلیازها، نیاز به انرژی بالای داشته که می تواند مانع اصلی توسعه و کاربرد آنها گردد. اگرچه روش های جدیدی نظیر روش اونو-سوزوکی (Ono-Fry-Fartin-Chen)، فرای-فارتن و چن (Suzuki)، احیای میانی به روش الکتریکی (EMR) و احیای شکل پیش ساخته (Perform Reduction Process) جهت تولید تیتانیم و آلیازهای آن با قیمت تمام شده پایین، توسعه یافته و یا تحت بررسی است [۲۰-۲۵]، اما مشکلاتی نظیر نیاز به مقدار بالای از نمک مذاب، زمان های طولانی فرایند و محیط های بسیار خورنده در دمای بالا باعث شده است که روش های مذکور در مرحله ای آزمایشگاهی اجرا گردند. احیای مستقیم TiO_2 توسط عنصری Ca ، از جمله روش هایی است که جهت تولید Ti و کاهش هزینه های فرایند مورد توجه زیادی قرار گرفته است و لذا دانش و فهم مکانیزم های حاکم بر فرایند، جهت پیش بینی و کنترل مشخصه های تولید از اهمیت ویژه ای برخوردار است.

۴- مواد و روش تحقیق

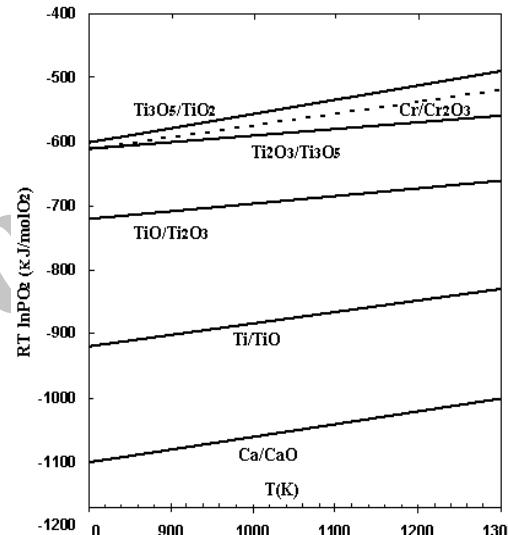
مواد اولیه مورد استفاده در این تحقیق عبارت است از: پودرهای اکسید تیتانیم (روتیل)، اکسید کروم و گرانول های فلز کلسیم با خلوص مرک (Merck). جهت اختلاط کامل مواد اولیه، پس از توزین هریک با نسبت استوکیومتری در واکنش ۱ و با دقت یک صدم گرم، تحت فرایند آسیاکاری پر انرژی (دستگاه مدل P6 Fritsch) با محفظه و گلوله هایی از جنس کاربید تنگستن، نسبت گلوله به پودر ۱:۲۰، زمان 30 دقیقه، اتمسفر خشی گاز آرگون و سرعت 350 دور بر دقیقه قرار گرفته شد.



با دیگر منحنی ها (شکل ۲ ب - د)، ملاحظه می شود که اولین پیک گرمایگر در کلیه منحنی ها مشترک بوده و مرتبط با تغییر ساختار کریستالی فلز کلسیم در دمای $483^{\circ}C$ می باشد و پیک گرمایگر ظاهر شده در دمای $841^{\circ}C$ نیز مرتبط با ذوب آن است و هر دو فرایند، گرمایگر می باشند [۲۷]. با توجه به منحنی های آنالیز حرارتی به دست آمده در سیستم های واکنش مختلف در شکل ۲، پیک گرمایگر به وجود آمده در دمای $654^{\circ}C$ تنها در سیستم سه جزیی $TiO_2-Cr_2O_3-Ca$ آشکار شده است و می توان چنین نتیجه گرفت که علت وقوع آن در اثر واکنش بین اکسید های تیتانیوم و کروم می باشد. بدین منظور مخلوطی از آن ها با نسبت $1:1$ و تا دمای $750^{\circ}C$ حرارت دهی شده و سپس تحت آنالیز تفرق اشعه ایکس قرار گرفت و نتایج حاکی از آن بود که محلولی جامد از اکسید ها به صورت جزیی ایجاد شده است و لذا وقوع واکنش گرمایگر را در دمای ذکر شده می توان به واکنش انحلال اکسید ها نسبت داد. با مقایسه میان منحنی های شکل ۲ ب و ۲ د می توان چنین نتیجه گرفت که واکنش گرمایزی ایجاد شده در دمای $933^{\circ}C$ ناشی از واکنش گرمایزی بین کلسیم مذاب و اکسید کروم بوده که محصول این واکنش Cr_2O_3-CaO (شکل ۳ الف) می باشد. از طرفی با مقایسه میان منحنی های شکل ۲ ج و ۲ د نیز علت وقوع واکنش گرمایزی در دمای $1063^{\circ}C$ را نیز می توان به واکنش بین اکسید تیتانیوم و کلسیم مذاب نسبت داد که منجر به تشکیل Ti و CaO می گردد. بررسی محصولات ایجاد شده در سیستم های واکنشی TiO_2-Ca و $TiO_2-Cr_2O_3-Ca$ (شکل ۳ ب و ج) بیانگر آن است که ترکیب اصلی ایجاد شده در آن ها ترکیب $CaTiO_3$ بوده که به نظر می رسد در مراحل اولیه فرایند از واکنش بین CaO و TiO_2 بوجود آمده است و همان گونه که پیشتر گفته شد، ترکیب CaO از واکنش بین Ca و Cr_2O_3 تشکیل می گردد. همچنین در سیستم واکنشی TiO_2-Ca با شروع واکنش احیاء بین TiO_2 و CaO ، ترکیب CaO ایجاد شده و با باقیمانده از اکسید تیتانیوم وارد واکنش می گردد که حاصل آن ترکیب $CaTiO_3$ می باشد. از آنجائی که ترکیب $CaTiO_3$ نسبت به اکسید تیتانیوم

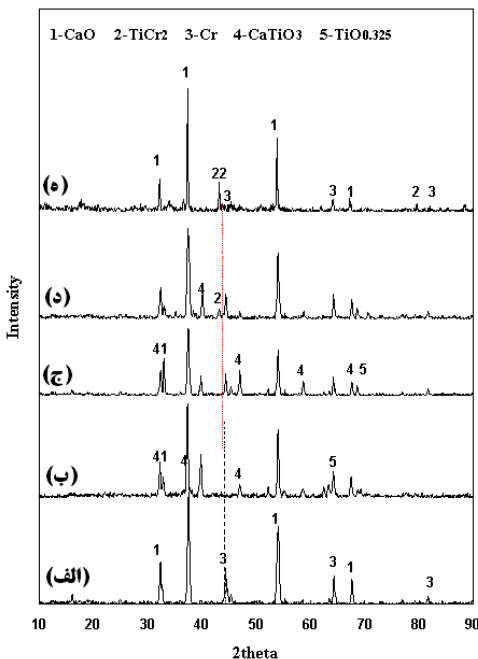
۱-۳- بردسی های XRD و DTA

در شکل ۲ منحنی های به دست آمده از آزمایش های آنالیز حرارتی بر روی ترکیب مواد اولیه شامل $TiO_2-Cr_2O_3-Ca$ ، TiO_2-Ca ، Cr_2O_3-Ca و نیز فلز کلسیم خالص آمده است. همان گونه که ملاحظه می شود در سیستم واکنشی $TiO_2-Cr_2O_3-Ca$ ، $TiO_2-Cr_2O_3-Ca$ و Cr_2O_3-Ca در محدوده های دمایی $654^{\circ}C$ ، $841^{\circ}C$ و $933^{\circ}C$ سه پیک گرمایگر در محدوده های دمایی $654^{\circ}C$ ، $841^{\circ}C$ و $933^{\circ}C$ و نیز دو پیک گرمایزی در محدوده های دمایی $1063^{\circ}C$ به وضوح دیده می شود.



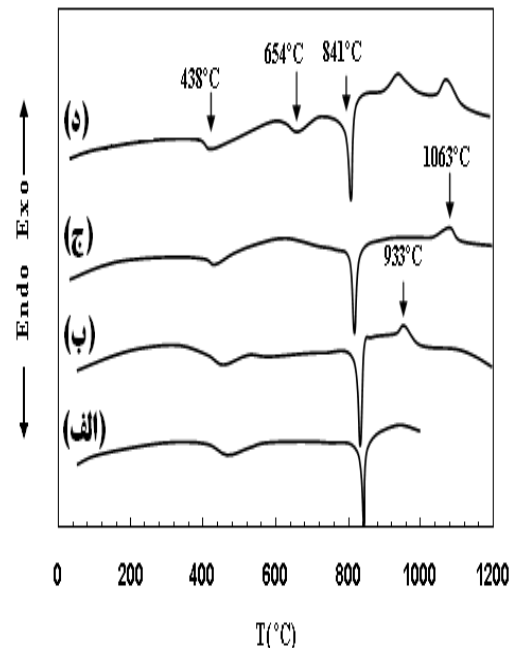
شکل (۱): پتانسیل اکسیژن بر حسب دما در سیستم های $Ti-O$ ، Ti_2O_3 ، Ti_3O_5 و $Ca-Cr_2O_3$ [۲۷-۲۶]

از طرفی نتایج بررسی آزمایش تفرق اشعه ایکس بر روی محصولات حاصل از این آزمایش ها (شکل ۳)، حاکی از آن است که با گرمایش مخلوط $TiO_2-Cr_2O_3-Ca$ تا دمای $1200^{\circ}C$ و نگهداری به مدت 30 دقیقه در این دما، ترکیب های ایجاد شده عبارتند از: $CaTiO_3$ ، $TiO_{0.325}$ ، $TiCr_2$ ، CaO ، TiO_2 و Cr . به منظور تعیین علت وقوع پیک های ظاهر شده در سیستم واکنشی فوق، آزمایش های آنالیز حرارتی و تفرق اشعه ایکس بر روی سیستم های TiO_2-Ca ، Cr_2O_3-Ca و نیز کلسیم خالص نیز صورت پذیرفت (شکل ۲). بر اساس نتایج به دست آمده از منحنی آنالیز حرارتی بر روی Ca (شکل ۲ الف) و مقایسه ای آن



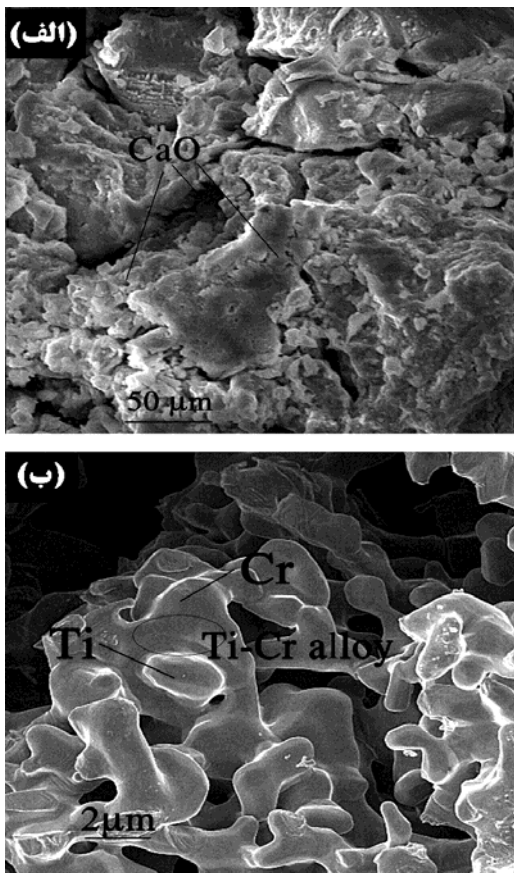
شکل(۳): منحنی های XRD بر روی محصولات به دست آمده از آزمایش-های (الف) CaO، (ب) Cr_2O_3 -Ca، (ج) TiO_2 -Ca، (د) TiO_2 - Cr_2O_3 -Ca و (ه) TiO_2 - Cr_2O_3 -Ca نگهداری در دمای ۱۲۰۰ درجه، (د) TiO_2 - Cr_2O_3 -Ca ۶۰ دقیقه نگهداری و (ه) TiO_2 - Cr_2O_3 -Ca ۱۲۰ دقیقه نگهداری.

دارای پایداری شیمیابی بالاتری است، بنابراین احیای آن نیز مشکل تر بوده و نیاز به زمان بالاتری دارد. لذا آزمایش های آنالیز حرارتی با زمان های بیشتر نگهداری در دمای 1200°C (۶۰ و ۱۲۰ دقیقه) بر روی مخلوط سه جزیی صورت پذیرفت و محصولات مختلف ایجاد شده از این آزمایش ها به ترتیب در شکل ۳ د و ۳ ه آمده است. همان گونه که در این شکل ملاحظه می شود با افزایش زمان نگهداری محصولات در دمای 1200°C از ۳۰ به ۶۰ دقیقه، از شدت پیک های CaTiO_3 کاسته و شدت پیک های CaO افزایش یافته است. بنابراین افزایش شدت پیک-های ترکیب CaO را می توان به احیای ترکیب CaTiO_3 و نیز از بین رفتن ترکیب $\text{TiO}_{0.325}$ نسبت داد. از طرفی با افزایش زمان نگهداری به ۱۲۰ دقیقه، ترکیب CaTiO_3 ناپدید و ترکیب بین فلزی TiCr_2 ایجاد شده است. بنابراین به نظر می رسد که تشکیل ترکیب بین فلزی TiCr_2 ناشی از فرایند نفوذ بوده به گونه ای که زمان نگهداری محصولات در دمای بالا بر آن موثر بوده که در بخش ۲-۳ بیشتر مورد بررسی قرار می گیرد.

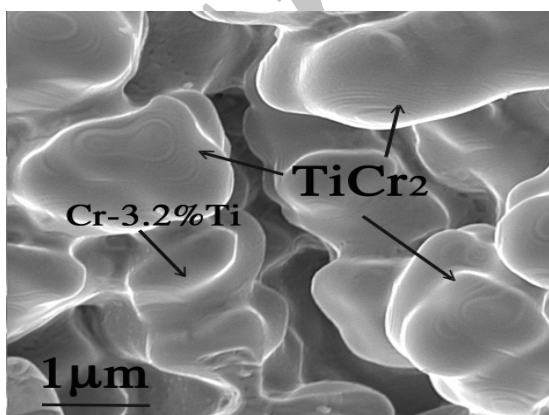


شکل(۲): منحنی های آنالیز حرارتی در سیستم های واکنش مختلف: (الف) Ca خالص، (ب) TiO_2 - Cr_2O_3 -Ca، (ج) Cr_2O_3 -Ca و (د) TiO_2 - Cr_2O_3 -Ca

۲-۳ بررسی های میکروسکوپ الکترونی روبشی (SEM)
شکل ۴ تصاویر میکروسکوپ الکترونی روبشی از محصولات به دست آمده از آزمایش های آنالیز حرارتی بر روی مخلوط TiO_2 - Cr_2O_3 -Ca و با زمان های نگهداری ۳۰ و ۶۰ دقیقه در دمای بالا به همراه متوجه آنالیز عنصری EDS از نواحی مختلف را نشان می دهد. این بررسی ها یانگر آن است که فازهای فلزی را ترکیب CaO احاطه کرده است. بنابراین به نظر می رسد که با افزایش درجه حرارت در مخلوط فوق و پس از ذوب Ca در دمای 841°C مذاب کلسیم اطراف ذرات اکسید مواد اولیه را احاطه کرده و سپس واکنش گرمایزا در فصل مشترک ذرات اکسید کروم و فلز کلسیم در دمای 933°C آغاز شده و محصولات آن CaO و Cr_2O_3 می باشد. با توجه به نتایج به دست آمده از آزمایش های XRD (شکل ۳)، فاز اصلی ایجاد شده ترکیب CaO می باشد که به دلیل دانسیته پایین و کسر مولی بالای خود، بیشترین حجم محصولات را تشکیل می دهد و لذا

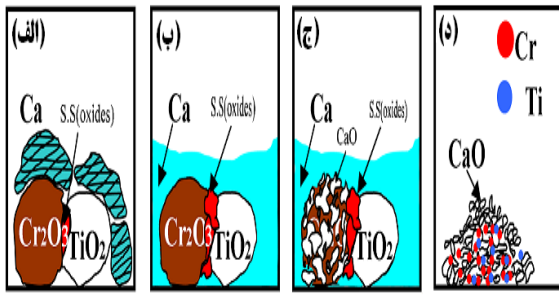


شکل (۴): تصاویر SEM و متوسط آنالیز EDS از نواحی مختلف محصولات به دست آمده از آزمایش‌های DTA بر روی مخلوط $TiO_2\text{-}Cr_2O_3\text{-}Ca$ (الف) درجه $200^\circ C$ و قبل از شستشو و (ب) درجه $60^\circ C$ نگهداری در دمای $1200^\circ C$ پس از شستشو توسط اسید کلریدریک گرم.



شکل (۵): تصویر SEM و متوسط آنالیز EDS از نواحی مختلف آن از محصول به دست آمده پس از نگهداری به مدت $120^\circ C$ درجه در دمای $1200^\circ C$ و شستشو.

بررسی‌های SEM و آنالیز EDS نیز (شکل ۴) بیانگر آن است. بررسی‌های آنالیز EDS پس از شستشو و جداسازی محصولات جانبی (شکل ۴ ب) نشان می‌دهد که آلیاژ $Ti\text{-}Cr$ در فصل مشترک ذرات این دو فلز تشکیل شده است، بنابراین ملاحظه می‌شود که تشکیل ترکیب بین فلزی $TiCr_2$ از فرایند نفوذ دوجانبه‌ی عناصر تیتانیم و کروم تشکیل می‌گردد. از طرفی وجود آلیاژ $TiCr$ در فصل مشترک ذرات فلزی بیانگر آن است که زمان نگهداری در دمای بالا ($60^\circ C$) جهت تشکیل ترکیب بین فلزی کافی نبوده است. شکل ۵ محصول به دست آمده و متوسط نتایج آنالیز EDS از نواحی مختلف آن را پس از نگهداری به مدت $120^\circ C$ دقیقه در دمای بالا و شستشوی آن نشان می‌دهد. این بررسی‌ها بیانگر آن است که در شرایط فوق فرایند احیای همزمان اکسیدهای مواد اولیه و تشکیل ترکیب بین فلزی به وقوع پیوسته است که در توافق با نتایج آنالیز XRD (شکل ۳ ه) نیز می‌باشد. از طرفی علی‌رغم تنظیم ترکیب مواد اولیه جهت تشکیل ترکیب بین فلزی $TiCr_2$ (رابطه ۱)، فلز کروم نیز $Ti\text{-}Cr$ تشکیل شده است که علت آن را با توجه به دیاگرام فازی $Ti\text{-}Cr$ می‌توان توضیح داد. بر اساس دیاگرام فازی این دو عنصر، در دمای بالا فاز $\beta\text{-}TiCr_2$ با حدود $66^\circ C$ درصد وزنی از فلز کروم پایدار است [۲۹] و با کاهش درجه حرارت در حدود $850^\circ C$ این فاز به فاز دما پایین $\alpha\text{-}TiCr_2$ با $64^\circ C$ درصد وزنی از فلز کروم و فاز محلول جامد β که مشتمل از فلز کروم و تیتانیم است، تبدیل می‌گردد. بر اساس نتایج آنالیز EDS (شکل ۵) ذرات فلزی کروم در محصول به دست آمده، حاوی فلز تیتانیم نیز می‌باشد و از طرفی بر اساس نتایج آزمایش‌های XRD (شکل ۳)، پیک‌های مرتبط با فلز کروم اندکی جایگزینی به سمت چپ را از خود نشان می‌دهند. زیرا با جانشینی اتم‌های فلز تیتانیم با پارامتر شبکه‌ی بزرگتر (3.3066 \AA°) در شبکه‌ی کریستالی کروم، پارامتر شبکه‌ی کروم (2.8847 \AA°) اندکی افزایش می‌یابد [۱۳]. بنابراین با افزایش پارامتر شبکه در این ترکیب، جهت برقراری رابطه‌ی برآگ در تفرق اشعه‌ی ایکس ($\lambda=2d \sin\theta$)، زوایای تفرق اشعه به سمت زاویه‌های کمتر جایجا می‌شود.



شکل (۶): شماتیک تشکیل ترکیب بین فلزی $TiCr_2$ توسط فرایند احیای همزمان اکسیدهای تیتانیم و کروم توسط کلسیم، (الف) تغییر ساختار کریستالی کلسیم در دمای $438^\circ C$ و تشکیل محلول جامد بین اکسیدهای مواد اولیه در دمای $654^\circ C$ ، (ب) ذوب شدن فاز کلسیم در دمای $841^\circ C$ ، (ج) انجام واکنش گرمایی بین کلسیم مذاب و اکسید کروم در دمای $933^\circ C$ و (د) انجام واکنش گرمایی بین اکسید تیتانیم و کلسیم در دمای $1063^\circ C$ و تشکیل ترکیب بین فلزی $TiCr_2$ در طی فرایند نفوذ دو جانبه.

سازی ترکیب‌ها و نیز حذف آلودگی‌ها و اکسیدهای سطحی، سیکل فعال سازی استاندارد [۱۶] بر روی آن‌ها صورت پذیرفت. همان‌گونه که در شکل ۷ دیده می‌شود نرخ جذب هیدروژن در نمونه‌ای تولید شده به روش احیای همزمان بالاتر است که علت آن را می‌توان به مورفولوژی و سطوح آزاد آن نسبت داد. همان‌گونه که در تصاویر SEM از این نمونه دیده می‌شود (شکل ۵) ترکیب تولید شده به روش احیای همزمان دارای تخلخل بسیار بالایی بوده که این نوع مورفولوژی از ویژگی‌های فرایند تولید احیای همزمان محاسب می‌گردد و جهت کاربرد این مواد در آلیاژهای جاذب هیدروژن مناسب است [۳۰]. از طرفی بیشینه‌ی جذب هیدروژن توسط نمونه‌ی تولید شده به روش قوس الکتریکی بالاتر است (شکل ۷) که این اختلاف در میزان جذب را می‌توان به پروسه‌های مختلف تولید ترکیب $TiCr_2$ و میزان اکسیژن باقیمانده در آن نسبت داد. ترکیب تولید شده به روش قوس الکتریکی، در بوته‌ی مسی آبگرد با سرعت انجامد بالا تولید شده است که منجر به تشکیل فازهای نیمه پایدار دما بالا نظیر β - $TiCr_2$ و یا فاز bcc می‌گردد. از طرفی میزان اکسیژن اندازه‌گیری شده در ترکیب تولید شده به روش قوس الکتریکی ($48 ppm$) کمتر از مقدار آن در نمونه‌ی تولید شده به روش احیای همزمان ($1690 ppm$) می‌باشد و وجود عناصر بین نشین

۳-۲- مکانیزم تشکیل ترکیب بین فلزی $TiCr_2$
بر اساس نتایج به دست آمده از آزمایش‌های DTA و XRD و آنالیز EDS مراحل و مکانیزم تشکیل ترکیب بین فلزی $TiCr_2$ در فرایند احیای همزمان کلسیوترمیک اکسیدهای تیتانیم و کروم را می‌توان بصورت شماتیک در شکل ۶ نشان داد. همان‌گونه که ملاحظه می‌شود با گرمایش مخلوط TiO_2 - Cr_2O_3 - Ca در محیط گاز آرگون، ابتدا در دمای $438^\circ C$ فاز کلسیم طی یک فرایند گرمگیر از ساختار کریستالی α به β تغییر می‌یابد، سپس در محدوده‌ی دمایی $654^\circ C$ یک محلول جامد بصورت جزیی از اکسیدهای مواد اولیه ایجاد شده که این فرایند نیز گرمگیر است. سومین مرحله از فرایند پس از ذوب فاز کلسیم در دمای $841^\circ C$ شروع می‌شود. زیرا واکنش‌های احیاء اکسیدهای کروم و تیتانیم، پس از ذوب فاز کلسیم رخ می‌دهند. در این مرحله ابتدا اکسید کروم در دمایی پایین تر ($933^\circ C$) نسبت به اکسید تیتانیم ($1063^\circ C$) وارد واکنش با کلسیم مذاب می‌گردد. این در حالی است که با شروع واکنش گرمایی اکسید کروم و تشکیل ترکیب CaO ، این ماده با TiO_2 وارد واکنش شده و ترکیب $CaTiO_3$ را ایجاد می‌کند. این در حالی است که نیاز به زمان کافی جهت احیاء و تبدیل شدن آن به فلز تیتانیم لازم است. در پایان ترکیب بین فلزی $TiCr_2$ از آلیاژشدن عناصر فلزی مواد اولیه‌ی به وجود آمده تشکیل می‌گردد که جهت تکمیل این ترکیب نیز می‌بایست زمان کافی در دمای بالا را مهیا نمود. بر اساس نتایج و بررسی‌های صورت گرفته چنین به نظر می‌رسد که مکانیزم حاکم بر تشکیل ترکیب بین فلزی $TiCr_2$ در طی فرایند احیای همزمان اکسیدهای مواد اولیه، مکانیزم احیاء-دیفوزیون (RD) می‌باشد.

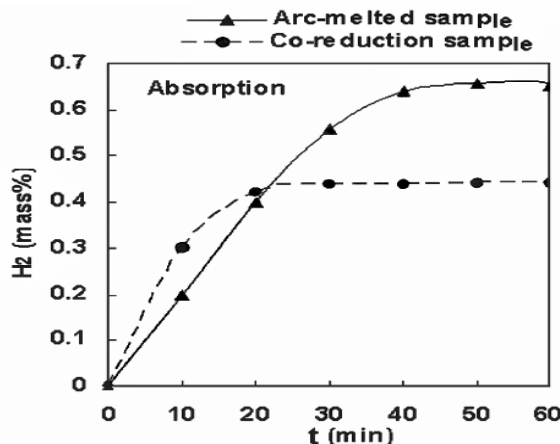
۴-۲- خواص جذب هیدروژن
خواص جذب هیدروژن در ترکیب بین فلزی $TiCr_2$ به دست آمده در این تحقیق و در دمای $50^\circ C$ به روش سیورت بررسی شد. همچنین این خواص در ترکیب مشابه و تولید شده به روش قوس الکتریکی جهت مقایسه نیز بررسی گردید. ابتدا جهت فعال

۱۶۹۰ ppm اکسیژن با قیمانده بوده و پس از فعالسازی قابلیت جذب هیدروژن را دارا است.

مانند اکسیژن باعث کاهش بیشینه‌ی جذب هیدروژن در ترکیبات جاذب هیدروژن می‌گردد [۱۶-۱۷].

۶-مراجع

- [1] R.W. Cahn," Non-Equilibrium Processing of Materials, Pergamon Press", p. 298-309, 1999.
- [2] S. Gennari, F. Maglia and G. Spinolo, "SHS (Self-Sustained High-Temperature Synthesis) of Intermetallic Compounds: Effect of Process Parameters by Computer Simulation", *Intermetallics*, Vol. 11, pp. 1355-1359, 2003.
- [3] V. Rosenband, M. Torkar and A. Gany, "Self-Propagating High-Temperature Synthesis of Complexnitrides of Intermetallics", *Intermetallics*, Vol. 14, pp. 551-559, 2006.
- [4] G. Merzhanov, "Combustion Processes that Synthesize Materials", *Journal of Materials Processing Technology*, Vol. 56, pp. 222-241, 1996.
- [5] G. Merzhanov, "History and Recent Development in SHS", *Ceramics International*, Vol. 21, pp. 371-379, 1995.
- [6] P. Mossino, "Some Aspects in SHS Synthesis", *Ceramics International*, Vol. 30, pp. 311-332, 2004.
- [7] J. J. Moore, H. J. Feng, " Combustion Synthesis of Advanced Materials", Pergamon Press, p. 275-316, 1995.
- [8] B. Chunxiang, H. BaoMin, Z. Lichen and L. Shuangjin, "Titanium Alloy Production Technology, Market Prospects and Industry Development", *Materials and Design*, Vol. 32, pp. 1684-1691, 2011.
- [9] R. Nagesh , C. S. Ramacahandran, "Electrochemical Process of Titanium Extraction", *Transactions of Nonferrous Metals Society of China*, Vol. 17, pp. 429-433, 2007.
- [10] S. Amarchand, T. R. Rrmamohan and P. Ramakrishnan, "A Novel Chemical Solution Technique for the Preparation of Nano Size Titanium Powders from Titanium Dioxide", *Advanced Powder Technology*, Vol. 11-4, pp. 415-422, 2000.



شکل (۷): منحنی جذب هیدروژن (فشار ۲/۵ مگاپاسکال) در ترکیب بین فلزی به دست آمده از روش احیای همزمان و قوس الکتریکی در دمای ۵۰ درجه.

۵-نتیجه گیری

مکانیزم تشکیل ترکیب بین فلزی $TiCr_2$ در فرایند احیای همزمان اکسید های تیتانیم و کروم توسط کلسیم با استفاده از آزمایش - های DTA و EDS و XRD مورد بررسی قرار گرفت. با گرمایش مخلوط $TiO_2-Cr_2O_3-Ca$ و در دمای $483^{\circ}C$ ، فلز کلسیم تغییر ساختار کریستالی داده و سپس در دمای $654^{\circ}C$ ، اکسید های تیتانیم و کروم بصورت جزئی در یکدیگر حل شده و در دمای $841^{\circ}C$ ، فلز کلسیم ذوب می شود که هر سه فرایند گرماگیر می باشند. پس از ذوب فلز کلسیم و در دمای $933^{\circ}C$ ، فلز کلسیم با اکسید کروم وارد واکنش گرمایزا شده که در نتیجه‌ی آن فلز کروم و CaO تشکیل می‌گردد. در این مرحله ترکیب CaO به همراه TiO_2 ، منجر به تشکیل ترکیب $CaTiO_3$ می‌گردد. با افزایش دما، اکسید تیتانیم با قیمانده و ترکیب $CaTiO_3$ در طی یک واکنش گرمایزا، فلز تیتانیم و CaO را تشکیل می‌دهند. در نهایت ترکیب بین فلزی $TiCr_2$ توسط نفوذ دو جانبه‌ی عناصر تیتانیم و کروم تشکیل می شود. ترکیب به دست آمده حاوی

- Oxide and In-Situ Electrolysis in Molten CaCl_2 ", Metallurgical and Materials Transactions B, Vol. 34, pp. 287-295, 2003.
- [21] G. Z. Chen, D. J. Fray and T. W. Farthing, "Direct Electrochemical Reduction of Titanium Dioxide to Titanium in Molten Calcium Chloride", Nature, Vol. 407, pp. 361-364, 2000.
- [22] T. H. Okabe, T. Oda and Y. Mitsuda, "Titanium Powder Production by Preform Reduction Process (PRP)", Journal of Alloys and Compounds, Vol. 364, pp. 156-163, 2004.
- [23] H. G. Domazer, German patent, Park, T. Abiko and T. H. Okabe, "Production of Titanium Powder Directly from TiO_2 in CaCl_2 Through an Electronically Mediated Reaction (EMR)", Journal of Physics and Chemistry of Solids, Vol. 66, pp. 410-413, No. 2303697, 1973, 2005.
- [24] N. X. Miao, D. L. Yan, B. C. guang, C. D. Fu and Q. G. Bao, "Preparation of Ti by Direct Electrochemical Reduction of Solid TiO_2 and its Reaction Mechanism", Transactions of Nonferrous Metals Society of China, Vol. 16, pp. 723-727, 2006.
- [25] Roine, "HSC Chemistry", 5rd ed., Outokump Research, Finnland, 2002.
- [26] O. Kubaschewski, C. B. Alcock, "Metallurgical Thermochemistry", 5rd ed., Pergamon Press, 1979.
- [27] R. O. Suzuki, S. Inoue, "Calciothermic Reduction of Titanium Oxide in Molten CaCl_2 ", Metallurgical and Materials Transactions B, Vol. 34, pp. 277-285, 2003.
- [28] H. Okamoto, Phase Diagrams for Binary Alloys, Desk Handbook, ASM International, Material Park, OH, USA, 2000.
- [29] R. O. Suzuki, K. Tatemoto and H. Kitagawa, "Direct Synthesis of the Hydrogen Storage V-Ti Alloy Powder from the Oxides by Calcium Co-Reduction", Journal of Alloys and Compounds, Vol. 385, pp. 173-180, 2004.
- [11] S. W. Cho, C. N. Park and J. H. Yoo, "Hydrogen Absorbtion - Desorbtion Characteristics of Ti-Cr-V Alloys", Journal of Alloys and Compounds, Vol. 403, pp. 262-266, 2005.
- [12] S. W. Cho, C. N. Park and E. Akiba, "The Hydrogen Storage Characteristics of Ti-Cr-V Alloys", Journal of Alloys and Compounds, Vol. 288, pp. 294-298, 1999.
- [13] J. Y. Wang, R. Jeng, J. K. Nieh, S. Lee and H. Y. Bor, "Comparing the Hydrogen Storage Alloys-TiCrV and Vanadium-Rich TiCrMnV", International Journal of Hydrogen Energy, Vol. 32, pp. 3959 – 3964, 2007.
- [14] H. Taizhong, W. Zhu and X. Baojia, "Influence of V Content on Structure and Hydrogen Desorbtion Performance of TiCrV-Base Hydrogen Storage Alloys", Materials Chemistry and Physics, Vol. 93, pp. 544-547, 2005.
- [15] Y. Q. Hu, H. F. Zhang, C. Yan and L. Ye, "Preparation and Hydrogenation of Body-Centerd-Cubic TiCr_2 Alloys", Materials Letters, Vol. 58, pp. 783-786, 2004.
- [16] S. Amira, S. F. Santos and J. Huot, "Hydrogen Sorption Properties of Ti-Cr Alloys Synthesized by Ball Milling and Cold Rolling", Intermetallics, Vol. 18, pp. 140-144, 2010.
- [17] M. Okada, T. Kuriwa, T. Tamura & H. Takamura and A. Kamegawa, "Ti-Cr-V B.C.C Alloys with High Protium Content", Journal of Alloys and Compounds, Vol. 511, pp. 330-332, 2002.
- [18] N. Zelikman, O. E. Krein and G. V. Samosonov, Metallurgy of Rare Metals, 2rd ed., 1964.
- [19] W. J. Kroll, United States Patent, No. US2205854, 1940.
- [20] R. O. Suzuki, K. Teranuma and K. Ono, "Calciothermic Reduction of Titanium